

به نام خدا



علی قاسم زاده

۴۰۱۱۰۶۳۳۹

مدل های مولد

تمرین ۳

سوال اول

الف) می دانیم که در *reparametrizationtrick* بجای سمپل برداری از $\mathcal{N}(\mu, 1)$ از $\mathcal{N}(\cdot, 1)$ سمپل بر می داریم و سپس سمپل ها را با μ جمع می کنیم، پس داریم که :

$$\mathbb{E}_{z \sim \mathcal{N}(\mu, 1)}[f(z)] = \mathbb{E}_{\epsilon \sim \mathcal{N}(\cdot, 1)}[f(\mu + \epsilon)] \approx \frac{1}{N} \sum_{i=1}^N f(\mu + \epsilon_i)$$

$$\eta(\mu) = \nabla_{\mu} \mathbb{E}_{\epsilon \sim \mathcal{N}(\cdot, 1)}[f(\mu + \epsilon)] \approx \nabla_{\mu} \frac{1}{N} \sum_{i=1}^N f(\mu + \epsilon_i), \quad \epsilon_i \sim \mathcal{N}(\cdot, 1)$$

حالا این برآورد را α می نامیم :

$$\alpha(\mu) = \frac{1}{N} \sum_{i=1}^N \nabla_{\mu} f(\mu + \epsilon_i)$$

حالا اگر قرار دهیم که $f(z) = mz$ خواهیم داشت که :

$$\eta(\mu) = m \nabla_{\mu} \mathbb{E}_{\epsilon \sim \mathcal{N}(\cdot, 1)}[(\mu + \epsilon)] = m \mathbb{E}_{\epsilon \sim \mathcal{N}(\cdot, 1)}[\nabla_{\mu}(\mu + \epsilon)] =$$

$$m \mathbb{E}_{\epsilon \sim \mathcal{N}(\cdot, 1)}[1] = m$$

پس واریانس آن صفر خواهد بود زیرا نسبت به μ ثابت است. حالا اگر قرار دهیم که $f(z) = (mz)^{\top}$ خواهیم داشت که :

$$\eta(\mu) = m^{\top} \nabla_{\mu} \mathbb{E}_{\epsilon \sim \mathcal{N}(\cdot, 1)}[(\mu + \epsilon)^{\top}] = m^{\top} \mathbb{E}_{\epsilon \sim \mathcal{N}(\cdot, 1)}[\nabla_{\mu}(\mu^{\top} + \epsilon^{\top} + \epsilon^{\top} \mu)] =$$

$$m^{\top} \mathbb{E}_{\epsilon \sim \mathcal{N}(\cdot, 1)}[\epsilon^{\top} \mu + \epsilon^{\top}] = \epsilon^{\top} m^{\top} \mu$$

ب) ابتدا می دانیم که :

$$\nabla \log P(z; \mu) = \frac{\nabla_{\mu} P(z; \mu)}{P(z; \mu)}$$

حال داریم که :

$$p(z; \mu) \nabla_{\mu} \log P(a; \mu) = \nabla_{\mu} P(z; \mu)$$

حالا داشتیم که :

$$\eta(\mu) = \nabla_{\mu} \mathbb{E}_{z \sim \mathcal{N}(\mu, 1)}[f(z)]$$

می دانیم که P هم تابع توزیع $\mathcal{N}(\mu, 1)$ است پس داریم که :

$$\eta(\mu) = \nabla_{\mu} \mathbb{E}_{z \sim P}[f(z)] = \nabla_{\mu} \int_{-\infty}^{\infty} P(z; \mu) f(z) dz =$$

$$\int_{-\infty}^{\infty} f(z) (\nabla_{\mu} P(z; \mu)) dz = \int_{-\infty}^{\infty} f(z) P(z; \mu) (\nabla_{\mu} \log P(z; \mu)) dz =$$

$$\mathbb{E}_{z \sim P(z; \mu)}[f(z) \nabla_{\mu} \log P(z; \mu)] = \mathbb{E}_{z \sim \mathcal{N}(\mu, 1)}[f(z) \nabla_{\mu} \log P(z; \mu)] \approx$$

$$\frac{1}{N} \sum_{i=1}^N f(z_i) \nabla_{\mu} \log P(z_i; \mu), \quad z_i \sim \mathcal{N}(\mu, 1)$$

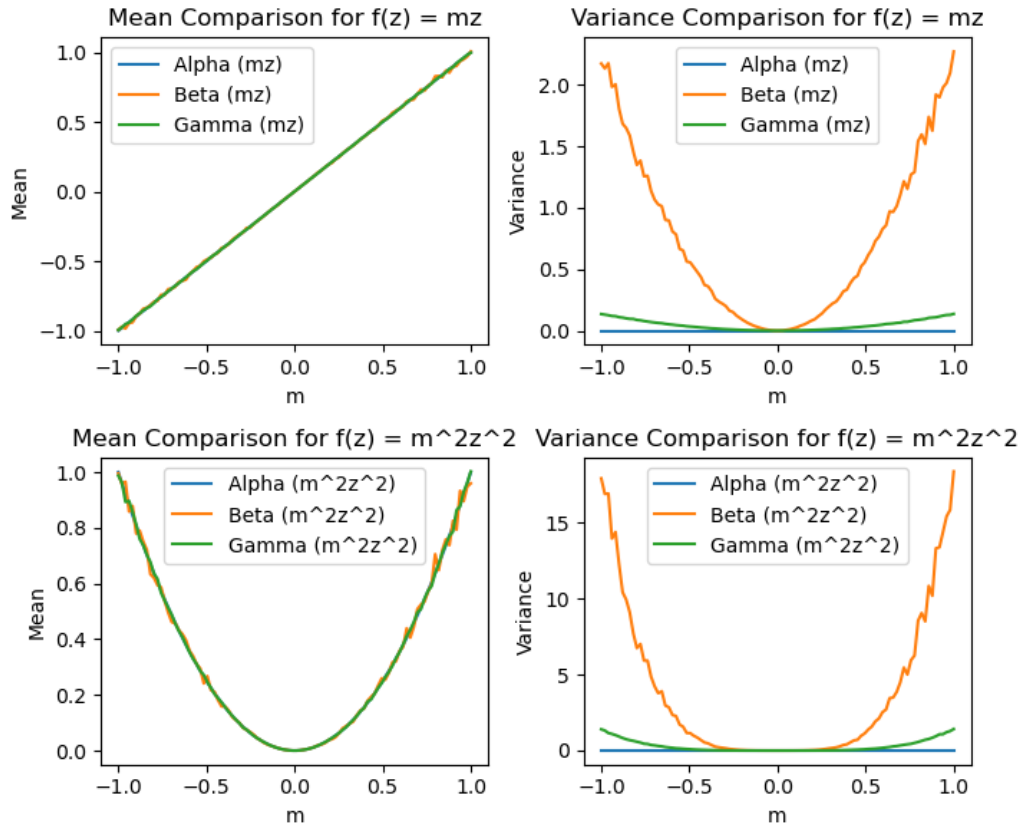
و $\beta(\mu)$ هم دقیقا همین تخمین بالا است.

$$\beta(\mu) = \frac{1}{N} \sum_{i=1}^N f(z_i) \nabla_{\mu} \log P(z_i; \mu), \quad z_i \sim \mathcal{N}(\mu, 1)$$

همچنین داریم که :

$$\nabla_{\mu} \log P(z_i; \mu) = -\frac{1}{\sigma^2} \nabla_{\mu} (z_i - \mu)^T = \mu - z_i$$

پ) نمودار را برای $N = 1000$ سمپل رسم می کنیم :



با توجه به نتایج کد پایتون داریم که میانگین هر سه نمودار تقریباً یکسان است ولی واریانس روش اول صفر است پس بهترین انتخاب است در هر دو حالت هم واریانس دوم بیشتر از سایرین است پس بعد از روش اول روش سوم بهتر است چون واریانسش بین روش اول و دوم است.

روش اول زمان هایی که توزیع z قابل بازسازی (*reparametrization*) باشد خوب است.

روش دوم گرایش به تولید واریانس زیاد دارد.

روش سوم هم پیچیدگی محاسباتی بیشتری نسبت به سایرین دارد.

در این مسئله از آنجایی که می توانیم *reparametrization* انجام دهیم پس روش اول مناسب ترین است.

سوال دوم

الف) ابتدا $D_{KL}(p||q)$ و $D_{KL}(q||p)$ را حساب می کنیم، می دانیم که داریم :

$$\begin{aligned}
 p(x) &= \frac{1}{\sqrt{2\pi}\sigma} e^{-\frac{(x-\mu_1)^2}{2\sigma^2}} \\
 q(x) &= \frac{1}{\sqrt{2\pi}\sigma} e^{-\frac{(x-\mu_2)^2}{2\sigma^2}} \\
 \rightarrow \frac{p(x)}{q(x)} &= e^{-\frac{(x-\mu_1)^2}{2\sigma^2} + \frac{(x-\mu_2)^2}{2\sigma^2}} \\
 D_{KL}(p||q) &= \int_{-\infty}^{\infty} p(x) \log \frac{p(x)}{q(x)} dx = \int_{-\infty}^{\infty} p(x) \log e^{-\frac{(x-\mu_1)^2}{2\sigma^2} + \frac{(x-\mu_2)^2}{2\sigma^2}} dx = \\
 \int_{-\infty}^{\infty} p(x) \left(\frac{-x^2 + 2x\mu_1 + \mu_1^2 + x^2 - 2x\mu_2 - \mu_2^2}{2\sigma^2} \right) dx &= \int_{-\infty}^{\infty} p(x) \left(\frac{2x(\mu_1 - \mu_2) + \mu_1^2 - \mu_2^2}{2\sigma^2} \right) dx = \\
 -\frac{\mu_1^2}{\sigma^2} \int_{-\infty}^{\infty} p(x) dx + \frac{\mu_2^2}{\sigma^2} \int_{-\infty}^{\infty} p(x) dx + \frac{2\mu_1}{\sigma^2} \int_{-\infty}^{\infty} xp(x) dx - \frac{2\mu_2}{\sigma^2} \int_{-\infty}^{\infty} xp(x) dx &= \\
 \frac{\mu_1^2 - 2\mu_1\mu_2 + \mu_2^2}{\sigma^2} &= \frac{(\mu_1 - \mu_2)^2}{\sigma^2} \quad * * *
 \end{aligned}$$

از طرفی می دانیم که $p(x)$ نسبت به نقطه ی μ_1 متقارن است زیرا اگر داشته باشیم $\mu_1 + \epsilon$ و $\mu_1 - \epsilon$ آنگاه داریم که $p(\mu_1 + \epsilon) = p(\mu_1 - \epsilon)$ پس حالا اگر در انتگرال داشتیم که : $\int_{-\infty}^{\infty} (x - \mu_1)p(x)dx$ حاصا این انتگرال صفر بود پس داریم که

$$\int_{-\infty}^{\infty} xp(x)dx = \mu_1 \int_{-\infty}^{\infty} p(x)dx = \mu_1$$

حالا پس رابطه ی نوشته شده ی بالا درست است. از طرفی اگر جای μ_1 و μ_2 را عوض کنیم انگار توزیع های p و q را عوض کرده ایم و در نتیجه $D_{KL}(q||p)$ بدست می آید حالا با توجه به مقدار KL دراولی ، مقدار KL دومی هم با جابه جایی p و q همان می شود و مینیممشان هم همان می شود. پس داریم که :

$$D_{KL}(p||q) = D_{KL}(q||p) = \frac{(\mu_1 - \mu_2)^2}{2\sigma^2}$$

حالا انتگرال را حساب می کنیم :

$$\int_{-\infty}^{\infty} p(x)q(x)dx = \int_{-\infty}^{\infty} \frac{1}{2\sigma^2} e^{-\frac{(x-\mu_1)^2}{2\sigma^2} - \frac{(x-\mu_2)^2}{2\sigma^2}} dx = \int_{-\infty}^{\infty} \frac{1}{2\sigma^2} e^{-\frac{(x - \frac{\mu_1 + \mu_2}{2})^2}{\sigma^2}} dx =$$

$$\frac{1}{\sqrt{2\pi}\sigma} e^{-\frac{(\mu_1 - \mu_2)^2}{2\sigma^2}} \int_{-\infty}^{\infty} \mathcal{N}(x; \frac{\mu_1 + \mu_2}{2}, \frac{\sigma^2}{2}) dx = \frac{1}{\sqrt{2\pi}\sigma} e^{-\frac{(\mu_1 - \mu_2)^2}{2\sigma^2}}$$

حالا اگر خود p را بجای q بزاریم داریم که عبارت نمایی ۱ می شود و فقط عبارت کسری می ماند. ثر نهایت داریم که :

$$D_{cs}(p||q) = -\log \frac{\int_{-\infty}^{\infty} p(x)q(x)}{\sqrt{(\int_{-\infty}^{\infty} p(x)^2 dx) \sqrt{(\int_{-\infty}^{\infty} q(x)^2 dx)}}} = -\frac{(\mu_1 - \mu_2)^2}{4\sigma^2}$$

این عبارتی منفی است در حالی که KL بزرگتر مساوی ۰ است پس این نامساوی برقرار است.

(ب)

$$\mathcal{L}_{cs} = \mathbb{E}_{q_\phi(z|x)}[\log p_\theta(x|z)] - \lambda D_{cs}(q_\phi(z|x)||p(z)) \rightarrow$$

$$\mathbb{E}_{q_\phi(z|x)}[\log p_\theta(x|z)] = \int_{-\infty}^{\infty} q_\phi(z|x) \log p_\theta(x|z) dz =$$

$$\int_{-\infty}^{\infty} q_\phi(z|x) \log \frac{p_\theta(x)p_\theta(z|x)}{p_\theta(z)} dz =$$

$$\int_{-\infty}^{\infty} q_\phi(z|x) \log p_\theta(x) dz + \int_{-\infty}^{\infty} q_\phi(z|x) \log \left(\frac{p_\theta(z|x)}{q_\phi(z|x)} \frac{q_\phi(z|x)}{p_\theta(z)} \right) dz =$$

$$\log p_\theta(x) - KL(q_\phi(z|x)||p_\theta(z|x)) + KL(q_\phi(z|x)||p_\theta(z)) - \lambda D_{cs}(q_\phi(z|x)||p(z))$$

در نتیجه حکم ثابت می شود.

- $\log p(x)$ که لگاریتم احتمال دیتای مشاهده شده ی x را نشان می دهد.
 - $objective$ برای vae است که بتواند خوب سمپل تولید کند (سمپل هایی نزدیک به توزیع ورودی).

- $-KL(q_\phi(z|x)||p_\theta(z|x))$ این ترم هر چقدر بزرگتر باشد نشان می دهد که توزیع شرطی q به توزیع شرطی p نزدیک تر است. (p توزیع واقعی دیتا)

- $KL(q_\phi(z|x)||p_\theta(z))$ این ترم اجازه می دهد تا توزیع q از توزیع $p(z)$ فاصله بگیرد.

- $\lambda D_{cs}(q_\phi(z|x)||p(z))$ مدل را مجبور می کند تا نزدیک به توزیع $p(z)$ بماند.

اگر مقدار λ را افزایش دهیم فضای پنهان محدود تر می شود و ممکن است کیفیت توزیع $prior$ بهتر شود ولی باعث می شود تا کیفیت $reconstruction$ کاهش یابد.

سوال سوم

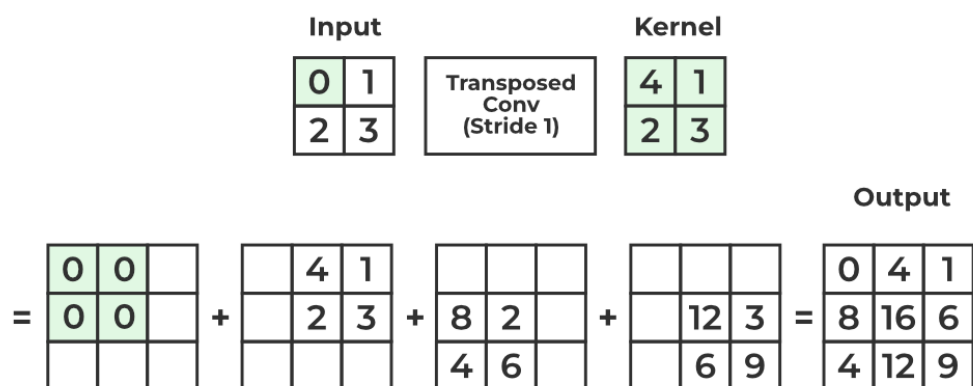
توضیحاتی نیز در آخر فایل جویپتر قرار داده شده اند، علاوه بر آن اینجا هم موارد لازم گفته شده اند.

(الف) مدل ما اینگونه عمل می کند که یک ورودی از $\mathbb{R}^{28 \times 28}$ می گیرد و آنرا به \mathbb{R}^{10} می برد. همچنین داریم که

$$q_{\phi}(z|x) = \mathcal{N}(z|\mu, \text{diag}(\sigma^2)), \quad \log \sigma^2 = g_{\phi}^{\sigma}(x)$$

(ب) به سری لایه ی خطی داریم که \mathbb{R}^{128} را به \mathbb{R}^{10} می برند. برای هرکدام از متغیر های μ و σ^2 یکی از این لایه ها داریم.

(ج) ConvTranspose2d برای Upsampling به کار می رود (افزایش ارتفاع و طول عکس ها) نحوه ی کار آن به صورت زیر است :



به صورت نقطه به نقطه ضرب داخلی می کند و با مقادیر قبلی پیکسل متناظر جمع می کند. فرمول آن هم از رابطه ی زیر بدست می آید :

$$h_{new} = s(h_{old} - 1) + k - 2p + p'w_{new}$$

$s \rightarrow \text{stride}$, $k \rightarrow \text{kernel_size}$, $p \rightarrow \text{padding}$, $p' \rightarrow \text{added to the side of the output}$

(د) از KL داشتیم که :

$$\log \frac{q(z|x)}{p(z)} = \log \frac{\frac{1}{\sqrt{1}\pi\sigma} \exp(-\frac{(z-\mu)^2}{1\sigma^2})}{\frac{1}{\sqrt{1}\pi\sigma} \exp(-\frac{z^2}{1})} = -\log \sigma - \frac{1}{1} + \frac{1}{1} z^2$$

$$\mathbb{E}[z] = \mu, \quad \mathbb{E}[(z - \mu)^2] = \sigma^2 \longrightarrow \mathbb{E}[z^2] = \sigma^2 + \mu^2$$

$$D_{KL} = \mathbb{E}[\log \sigma - \frac{1}{\sigma} + \frac{1}{\sigma} z^2] = -\frac{1}{\sigma^2} (\log \sigma^2 + 1 - \sigma^2 - \mu^2) = -\frac{1}{\sigma^2} (\log var + 1 - \exp(\log var) - \mu^2)$$

۲) معیار FID از دو مرحله ی اصلی تشکیل شده است :

۱. استخراج ویژگی ها : ابتدا ویژگی های تصاویر توسط یک شبکه ی از پیش آموزش داده شده مانند $Inceptionv3$ استخراج می شوند. این شبکه برای هر تصویر، یک بردار ویژگی در فضای ویژگی تعریف شده توسط لایه های داخلی شبکه $inception$ ایجاد می کند.

۲. مقایسه توزیع ها : بردارهای ویژگی تصاویر واقعی و تصاویر تولیدی به دست آمده از مدل به کار رفته جمع آوری شده و توزیع آماری آن ها محاسبه می شود. سپس، فاصله فرشه بین دو توزیع ویژگی (که به طور معمول با استفاده از میانگین و کوواریانس بردارهای ویژگی تعیین می شود) محاسبه می شود. این فاصله نشان دهنده تفاوت آماری بین دو گروه تصویر است. فرمول آن عبارت است از :

$$FID = \|\mu_1 - \mu_2\|^2 + Tr(\sigma_1 + \sigma_2 - 2\sqrt{\sigma_1 * \sigma_2})$$

معیار FID اطلاعات مهمی در مورد کیفیت تصاویر تولید شده توسط مدل هایی مانند VAE ارائه می دهد:

۱. تنوع: FID به خوبی توانایی مدل در تولید تصاویر متنوع را ارزیابی می کند. اگر تصاویر تولیدی دارای تنوع کمی باشند و شبیه به هم باشند، مقدار FID بالا خواهد رفت زیرا توزیع ویژگی های تصاویر تولیدی تفاوت زیادی با توزیع تصاویر واقعی خواهد داشت.

۲. واقع گرایی: FID همچنین کیفیت و واقع گرایی تصاویر تولیدی را ارزیابی می کند. یک مقدار پایین FID نشان دهنده آن است که تصاویر تولیدی در سطح ویژگی های دیداری نزدیک به تصاویر واقعی هستند. فرمول بالا را می توان به صورت زیر برای مدل مان بنویسیم :

$$FID = \|\mu_r - \mu_g\|^2 + Tr(\sum_r + \sum_g - 2(\sum_r \sum_g)^{\frac{1}{2}})$$

که میانگین و ماتریس کواریانس مربوط به تصاویر و تصاویر تولید شده هستند.

۵) همانطور که از خروجی های چاپ شده ی بالا پیدا است، FID در داده های $reconstructed$ کمتر از داده های $random generated$ است و علتش هم واضح است که زیرا که در اولی دیتایی دارد که از روی آن بازسازی کند ولی در دومی دیتای رندومی با دیکودر داده شده است و

(ع) مقایسه با FID

تنوع vs واقع‌گرایی: FID به طور مستقیم واقع‌گرایی تصاویر تولیدی را با توجه به تصاویر واقعی اندازه‌گیری می‌کند و به خوبی تنوع را در نظر می‌گیرد. در حالی که IS بیشتر بر تنوع تمرکز دارد و ممکن است در ارزیابی واقع‌گرایی دقیق کوتاهی کند. کاربرد در تحلیل فضای PPL, PRD latent اطلاعات بیشتری در مورد رفتار فضای $latent$ و تناسب آن با داده‌های واقعی ارائه می‌دهند، که می‌تواند برای درک بهتر دینامیک‌های مدل و بهبود ساختارهای $latent$ مفید باشد. در کل هر معیاری نقاط ضعف و قوت خود را دارد و بسته به هدفی که مد نظر داریم هر کدام را استفاده می‌کنیم.

سوال چهارم

(الف) ما به CGAN ها یک ورودی x هم می‌دهیم که می‌تواند $label$ یا $text$ یا $image$ باشد و سپس داریم که :

$$\mathcal{L}_{GAN} = \mathbb{E}_{x,y}[\log D(x,y)] + \mathbb{E}_{x,z}[\log(1 - D(x, G(x,z)))]$$

(ب)

۱. انتقال سبک (*Style Transfer*) این تکنیک به شما این امکان را می‌دهد که سبک یک تصویر (مانند نقاشی‌های ون‌گوگ یا مونه) را به تصویر دیگری منتقل کنید، در حالی که محتوای اصلی تصویر حفظ می‌شود. برای مثال، یک عکس ساده می‌تواند شبیه یک اثر هنری نقاشی شود. کاربردش هم خلق آثار هنری دیجیتال و ویرایش تصاویر است.

A Neural Algorithm of Artistic Style

۲. رنگ‌آمیزی تصاویر (*ImageColorization*) این روش به تصاویر سیاه و سفید یا خاکستری رنگ اضافه می‌کند. این کاربرد به‌ویژه برای ترمیم عکس‌های قدیمی و افزایش جذابیت بصری تصاویر مفید است. کاربردش هم ترمیم تصاویر تاریخی و بهبود داده‌های تصویری در تحقیقات است.

Deep Learning for Image Colorization

۳. ارتقای وضوح تصویر (*Super-Resolution*) در این روش، وضوح یک تصویر با جزئیات بیشتر ارتقا پیدا می‌کند. این تکنیک می‌تواند برای بهبود کیفیت تصاویر کم‌وضوح، مانند تصاویر دوربین‌های امنیتی، استفاده شود. کاربردش هم بهبود کیفیت ویدیوها و تصاویر در کاربردهای پزشکی یا امنیتی است.

Photo-Realistic Single Image Super-Resolution Using a Generative Adversarial Network

ج) Pix2Pix یک مدل *Image-to-Image Translation* مبتنی بر *GAN* است که به داده‌های جفت‌شده نیاز دارد. داده‌های جفت‌شده شامل ورودی و خروجی‌های مربوطه هستند. هدف این مدل تولید تصویری است که کاملاً مرتبط با ورودی باشد. در واقع یادگیری آن *supervised* است. برای مثال: تبدیل عکس‌های نقشه به تصاویر واقعی یا عکس‌های اسکی به تصاویر رنگی.

نوع *Generator* و *Discriminator*:
Generator: از معماری *U-Net* استفاده می‌کند. این معماری به دلیل حفظ جزئیات در تصویر خروجی مناسب است.
Discriminator:

از معماری *PatchGAN* استفاده می‌کند که در آن تصاویر به صورت "پچ‌های" کوچک بررسی می‌شوند تا شباهت‌های محلی بهبود پیدا کنند.
کاربرد ها:

رنگ‌آمیزی تصاویر (*Image Colorization*).
تولید تصاویر واقع‌گرایانه از طرح‌های ساده.
بازسازی تصاویر (*Image Restoration*).

CycleGAN نیز یک مدل *Image-to-Image Translation* مبتنی بر *GAN* است، اما بر خلاف *Pix2Pix*، به داده‌های جفت‌شده نیاز ندارد. این مدل می‌تواند بدون داشتن داده‌های تطبیقی، تصاویر را از یک دامنه به دامنه‌ای دیگر تبدیل کند. در واقع یادگیری آن *unsupervised* است.

برای مثال: تبدیل تصاویر اسب به تصاویر گورخر یا تصاویر تابستانی به زمستانی.
نوع *Generator* و *Discriminator*:
Generator:

از معماری ResNet استفاده می‌کند. این معماری برای انتقال ویژگی‌های پیچیده مناسب است.
Discriminator:

مانند *Pix2Pix* از معماری *PatchGAN* استفاده می‌کند، اما تفاوت‌هایی در تنظیمات آن وجود دارد. ویژگی منحصربه‌فرد *CycleGAN* این است که دو *Generator* و دو *Discriminator* دارد. یکی برای تبدیل A به B و دیگری برای تبدیل B به A. کاربردها:

انتقال سبک بین تصاویر (*Style Transfer*).
تبدیل تصاویر شب به روز یا بالعکس.
تغییر دامنه‌های بدون تطبیق (*Unpaired Image Translation*).

د) خواندن مقاله

ه) تفاوت آن یں است که در این حالت generator و discriminator به ورودی x نیز وابسته اند، در نتیجه generator با یک z و x شروع می کند و خروجی y روی x ، conditioned می شود. در نتیجه باید یک ترم دیگه هم objective مان اضافه کنیم تا فاصله ی y و $G(x, z)$ را اندازه بگیرد.

و)

۱. تفاوت اصلی در معماری Discriminator در GAN عادی: هدف اصلی Discriminator در GAN عادی، تشخیص واقعی یا مصنوعی بودن یک تصویر کامل است. این Discriminator کل تصویر ورودی را به عنوان یک واحد در نظر می گیرد و سعی می کند تصویر را به صورت کلی ارزیابی کند.

Discriminator در PatchGAN :

در معماری PatchGAN، به جای ارزیابی کل تصویر، تصویر به پچ های کوچک $N \times N$ تقسیم می شود. هر پچ به صورت مستقل بررسی شده و طبقه بندی می شود. خروجی نهایی این Discriminator میانگین نتایج تمام پچ ها است.

۲. تفاوت در نوع پردازش GAN عادی:

تمرکز اصلی بر کلیت تصویر است و ممکن است به جزئیات کوچک تصویر توجه کافی نداشته باشد.

PatchGAN :

طبقه بندی محلی روی پچ ها باعث می شود به جزئیات ظریف تر تصویر مانند بافت ها، لبه ها و جزئیات کوچک توجه بیشتری شود.

۳. بهبود عملکرد مدل با توجه به جزئیات محلی، PatchGAN قادر است تصاویری با کیفیت بالاتر و واقعی تر تولید کند. این رویکرد از تولید تصاویر غیرواقعی در بخش های کوچک تصویر جلوگیری می کند. همچنین این معماری باعث می شود مدل برای کاربردهایی که به جزئیات بالا نیاز دارند (مانند انتقال سبک یا ترمیم تصاویر) بهتر عمل کند.

در زیر تفاوت آنها در شکل آمده است :

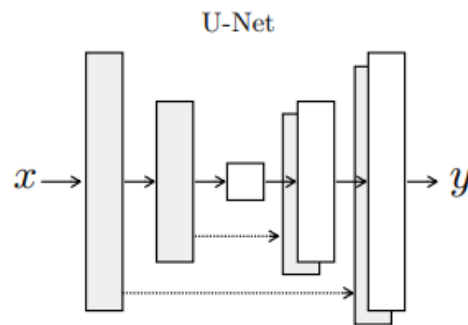
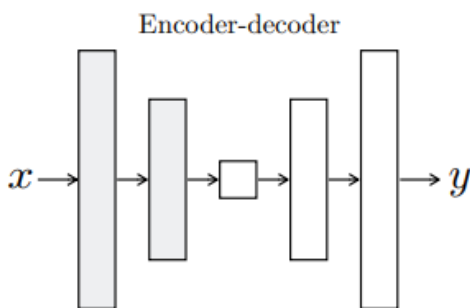


GAN discriminator



2x2 PatchGAN discriminator

6



در این حالت generator ما یک Unet است و به سری connection skip از encoder به decoder در آن اضافه شده اند که جزئیات اطلاعات قدیمی را هم نگه دارند برای همین عکس هایی با کیفیت بهتر تولید می کند و size kernel در همه جا ۴ است و pooling ای نداریم.

همچنین در بخش downsample ابعاد عکس را کاهش می دهیم با استفاده از conv2d و در ابعاد عکس را افزایش می دهیم با استفاده از convtrans- pose2d

همچنین متغییر رندوم Z برای ایجاد تنوع کافی نیست و برای همین از dropout برابر با ۰.۵ استفاده می کنیم. با این احتمال بالا dropout تنوع خوبی در generator ایجاد می کند.

(ج)

discriminator loss به دو بخش تقسیم می شود :

$$\mathcal{L}_D = -\frac{1}{2}(\mathbb{E}_{x,y}[\log D(x,y)] + \mathbb{E}_{x,y}[\log(1 - D(x, G(x,z)))])$$

همچنین در generator بجای $\log(1 - D)$ از $-\log D$ استفاده می کنیم همچنین ترم نرمالایزر را اگر نرم دو برداریم تصاویر مات می شوند برای همین از نرم یک استفاده می کنیم :

$$\mathcal{L}_G = -\mathbb{E}_{x,z}[\log D(x, G(x,z))] + \lambda \mathbb{E}_{x,y,z}[\|y - G(x,z)\|_1]$$

برای آپدیت هم روی همین loss ها backward می زنیم و discriminator و generator را بر اساس تابع loss شان آپدیت می کنیم.

سوال پنجم

لینک ها را در زیر مشاهده می کنید :
github

paperswithcode

با نام :

Alighasemzadeh۸۳/Pix۲Pix-implementation-from-scratch

kaggle با نام :

notebookb۲a۵۵ac۰۶f

medium
